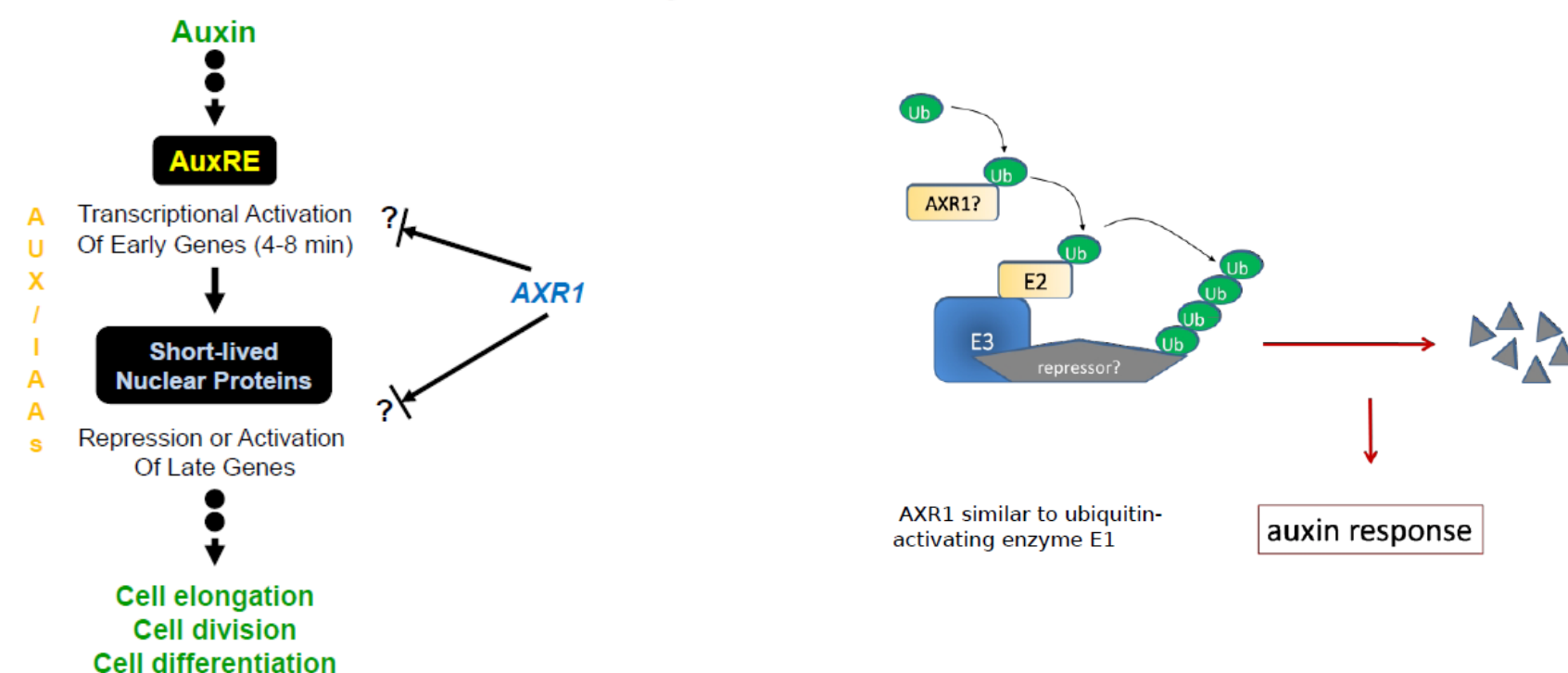
VORANGEGANGENE MODELLE

Abel et al. PNAS 1994

FIG. 5. Model for early auxin events

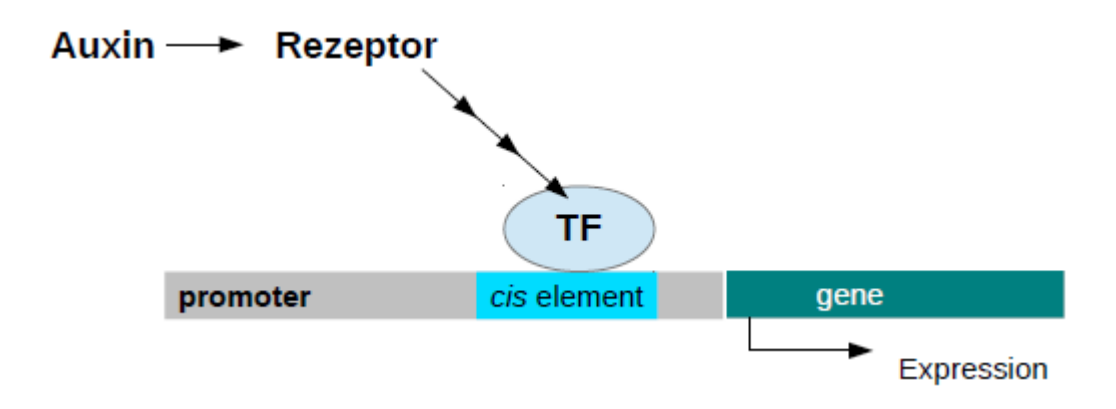


UNSER THEMA HEUTE

ARF1, a Transcription Factor That Binds to Auxin Response Elements

Tim Ulmasov, Gretchen Hagen, Tom J. Guilfoyle*

Julia, Lisa, Franziska G.



Ziel dieses Papers:

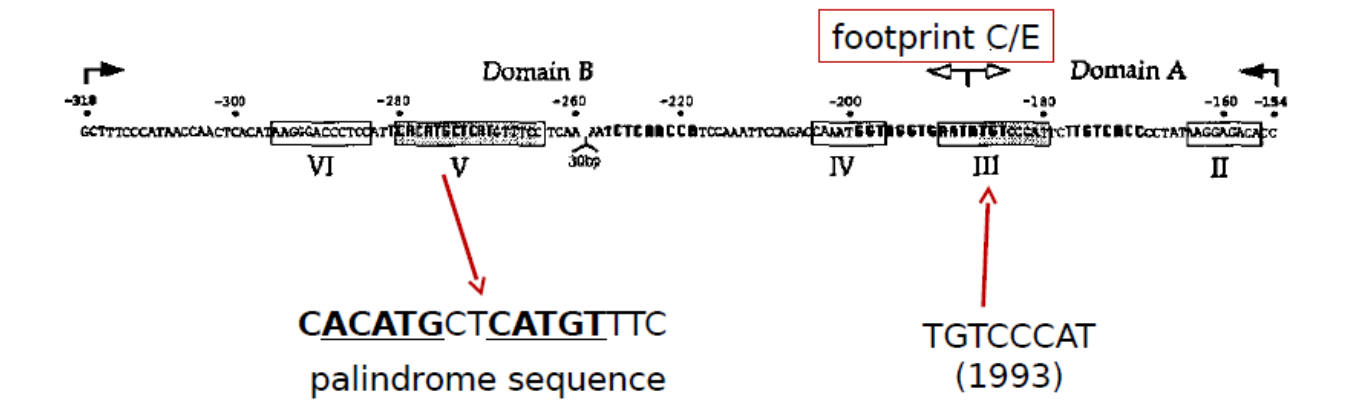
- Nähere Charakterisierung der AuxREs
- Analyse eines zu den AuxREs gehörenden Transkriptionsfaktors

WAS BEREITS BEKANNT WAR:

- Auxin moduliert die Interaktion von Transkriptionsfaktoren mittels AuxREs der Zielgene
- Auxinrelevanter Promotorbereich wurde auf 164bp eingegerenzt

Struktur des AuxRE

II-VI: five sequence motifs identified by Oeller et al. (1993)



found in: auxin-responsive genes of P. sativum, soybean and A. thaliana

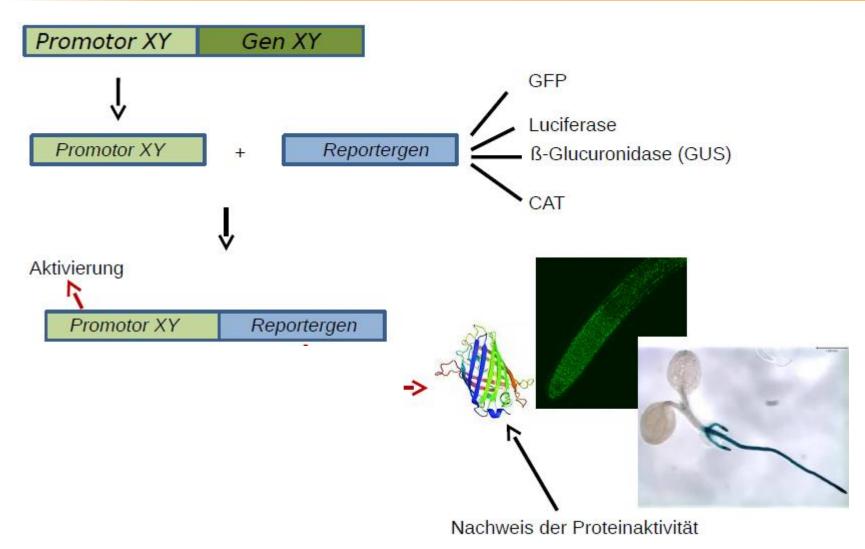
WAS BEREITS BEKANNT WAR

- Sojabohnengen GH 3: antwortet schnell und spezifisch auf Auxin, der Promotor enthält zwei AuxREs D1 und D4 mit der konservierten Sequenz TGTCTC
- Auxin responsiv elements zeigen Ähnlichkeit zu glucocorticoid responsive elements "GREs"
- GREs beinhalten palindromische Sequenzen (AGAACAnnnTGTTCT), an die ein Transkriptionsfaktor bindet

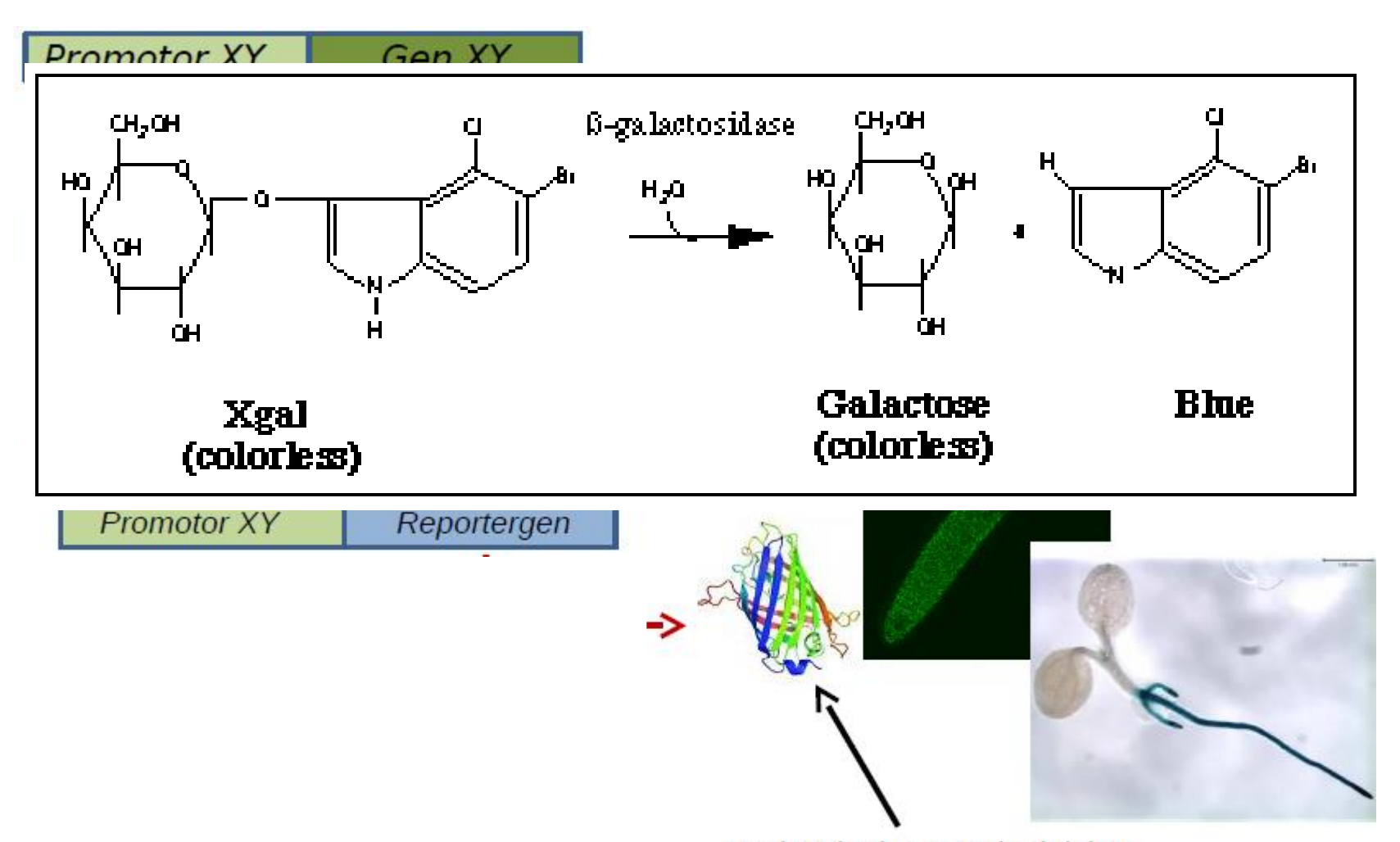
Fragestellung: Sind AuxREs palindromisch angeordnet?

→ Konstruktion des künstlichen P3-Konstruktes

GUS-REPORTERASSAY

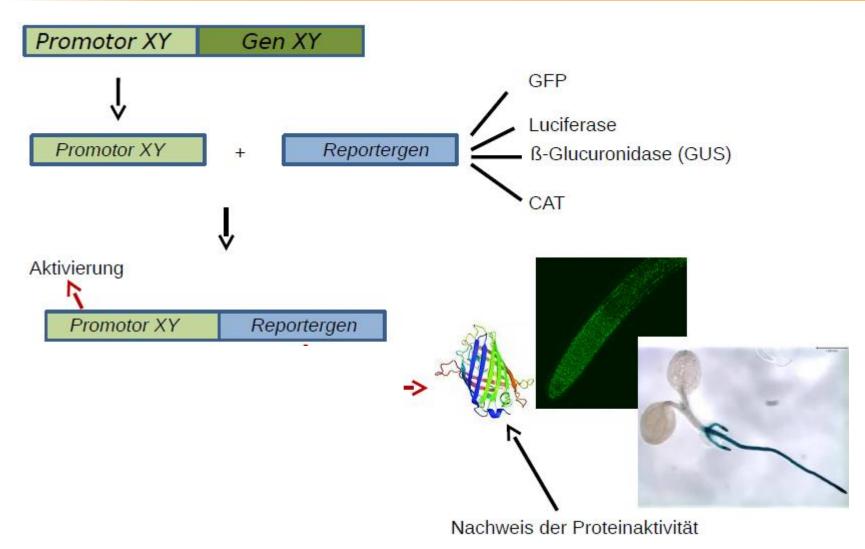


GUS-REPORTERASSAY



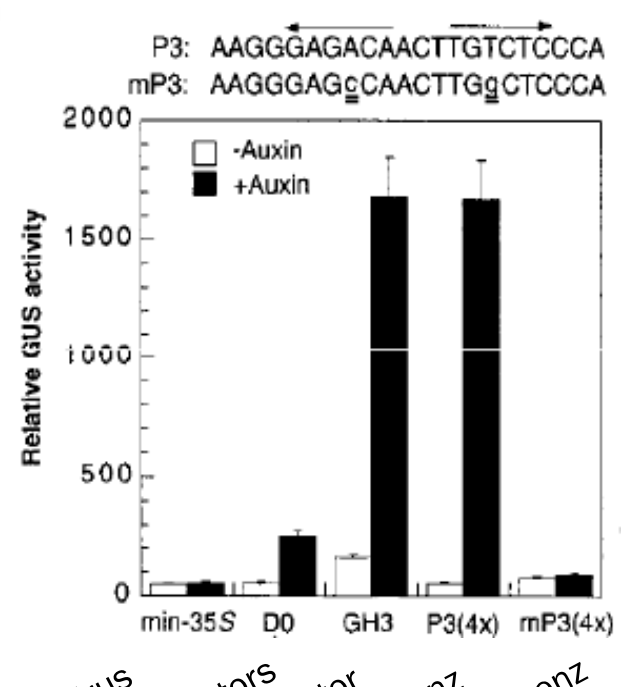
Nachweis der Proteinaktivität

GUS-REPORTERASSAY



GUS-REPORTERASSAY IN PROTOPLASTEN

P3 (4x): 4 Tandemkopien inverser Wiederholungen von TGTCTC



Promotor des cauiflower mosaic virus Promotors promotor des cauiflower mosaic virus Promotor des cauiflower mosaic virus Promotor des cauiflower mosaic virus GH3 Promotor des cauiflower mosaic virus GH3 Promotor des cauiflower mosaic virus GH3 Promotor Sequenz Vollständiger GH3 Promotor des cauiflower mosaic virus GH3 Promotors Sequenz GH3 Promotor des cauiflower mosaic virus GH3 Promotors Sequenz GH3 Promotor des cauiflower mosaic virus GH3 Promotor GH3 Promotor des cauiflower mosaic virus GH3 Promotor des cauiflo virus GH3 Promotor des cauiflo

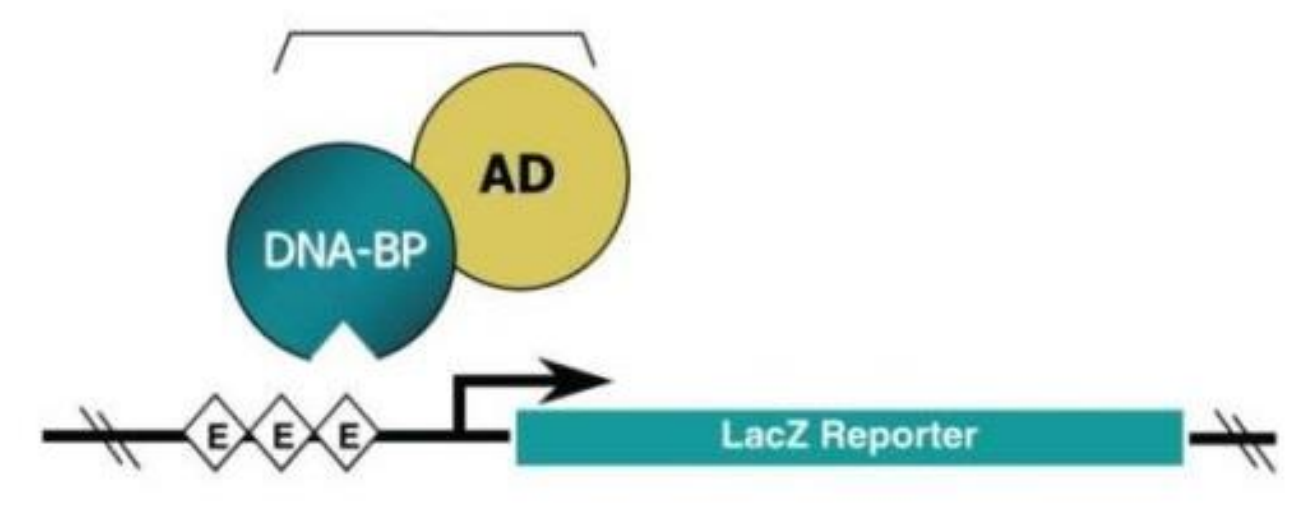
Fazit: 1. DO AuxRE reicht nicht aus um maximale Auxinantwort zu gewährleisten

2. P3 (4x) zeigt die selbe Auxinantwort wie natütliches, vollständiges AuxRE

YEAST-ONE-HYBRID SYSTEM

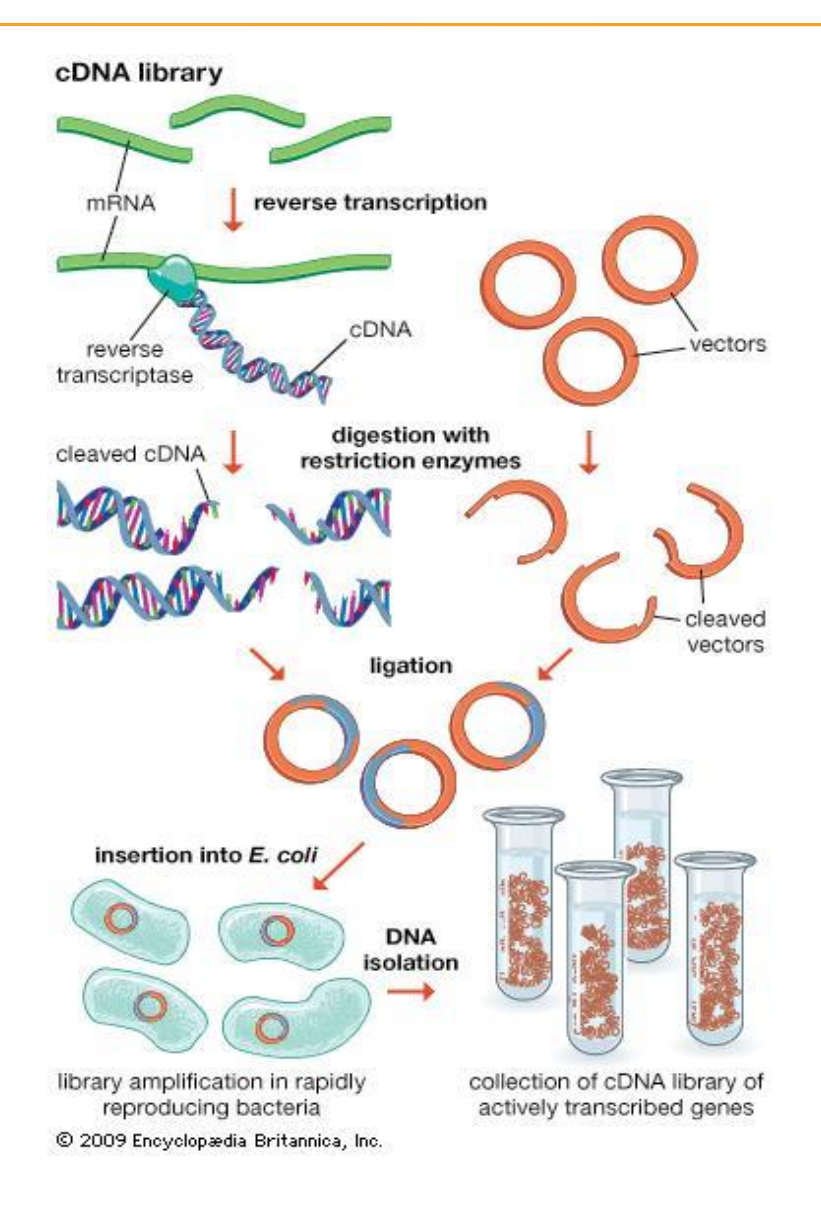
Identifizierung von Proteinen, die an das AuxRE binden können

- 1. cDNA expression library (jeweiliges Protein wird mit einer Aktivierungsdomäne verbunden)
- 2. AuxRE wird mit einem LacZ reporter verbunden



bindet ein Protein (aus der cDNA expression library) an das AuxRE, kommt es zur Aktivierung der LacZ Expression und die entsprechenden Hefezellen werden je nach Reportergen blau oder können auf einem Minimalmedium wachsen, auf dem ohne Expression des Reporters kein Wachstum möglich ist

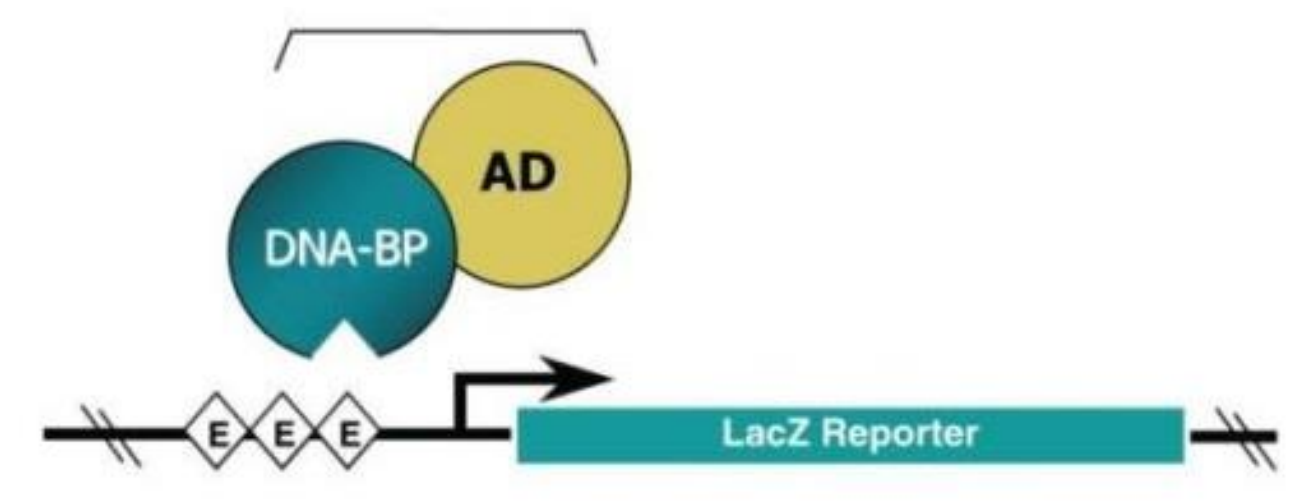
CDNA-LIBRARY



YEAST-ONE-HYBRID SYSTEM

Identifizierung von Proteinen, die an das AuxRE binden können

- 1. cDNA expression library (jeweiliges Protein wird mit einer Aktivierungsdomäne verbunden)
- 2. AuxRE wird mit einem LacZ reporter verbunden



bindet ein Protein (aus der cDNA expression library) an das AuxRE, kommt es zur Aktivierung der LacZ Expression und die entsprechenden Hefezellen werden je nach Reportergen blau oder können auf einem Minimalmedium wachsen auf dem ohne Expression des Reporters kein Wachstum möglich ist

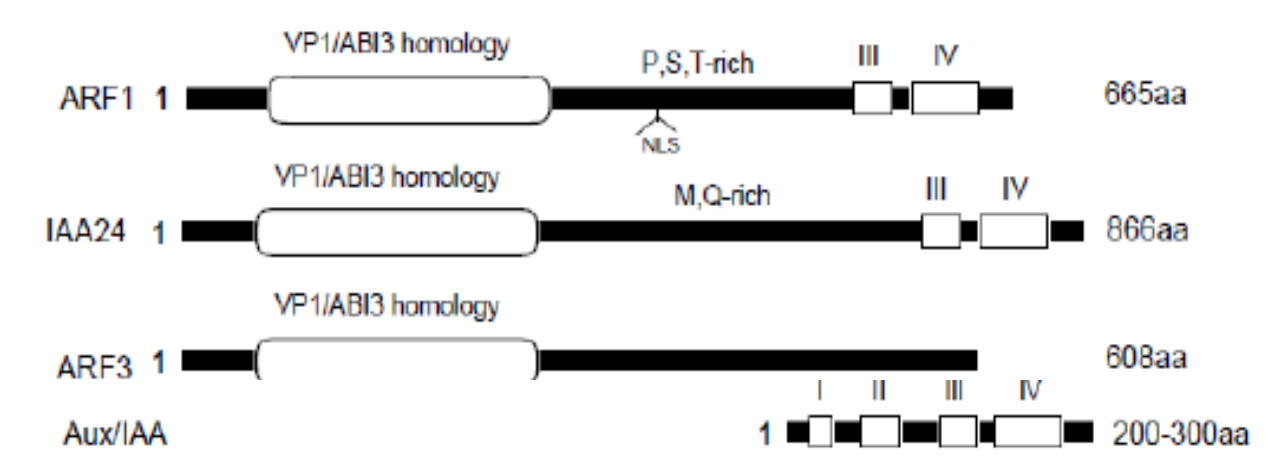
DIE AMINOSÄURESEQUENZ VON ARF1

4	L.
	ы

1 MAASNHSSGK PGGVLSDALC RELWHACAGP LVTLPREGER VYYFPEGHME 51 QLEASMHQGL EQQMPSFNLP SKILCKVINI QRRAEPETDE VYAQITLLPE LDOSEPTSPD APVOEPEKCT VHSFCKTLTA SDTSTHGGFS VLRRHADDCL 151 PPLDMSOOPP WOELVATDLH NSEWHFRHIF RGOPRRHLLT TGWSVFVSSK 201 KLVAGDAFIF LRGENEELRV GVRRHMROOT NIPSSVISSH SMHIGVLATA 251 AHAITTGTIF SVFYKPRTSR SEFIVSVNRY LEAKTQKLSV GMRFKMRFEG 301 EEAPEKRFSG TIVGVQENKS SVWHDSEWRS LKVQWDEPSS VFRPERVSPW 351 ELEPLVANST PSSQPQPPQR NKRPRPPGLP SPATGPSGPV TPDGVWKSPA DTPSSVPLFS PPAKAATFGH GGNKSPGVSI GSAFWPTNAD SAAESFASAF 451 NNESTEKKOT NGNVCRLFGF ELVENVNVDE CFSAASVSGA VAVDOPVPSN EFDSGQQSEP LNINQSDIPS GSGDPEKSSL RSPQESQSRQ IRSCTKVHMQ GSAVGRAIDL TRSECYEDLF KKLEENFDIK GELLESTKKW OVVYTDDEDD 601 MMMVGDDPWN EFCGMVRKIF IYTPEEVKKL SPKNKLAVNA RMQLKADAEE NGNTEGRSSS MAGSE 651

Homologien:
Unterstrichen – VP1 (Mais), ABI 3
(Arabidopsis)
doppelt unterstrichen - Box III + IV
in Aux/IAA Proteinen
Gestrichelt - NLS

SEQUENZHOMOLOGIEN UND IHRE BEDEUTUNG



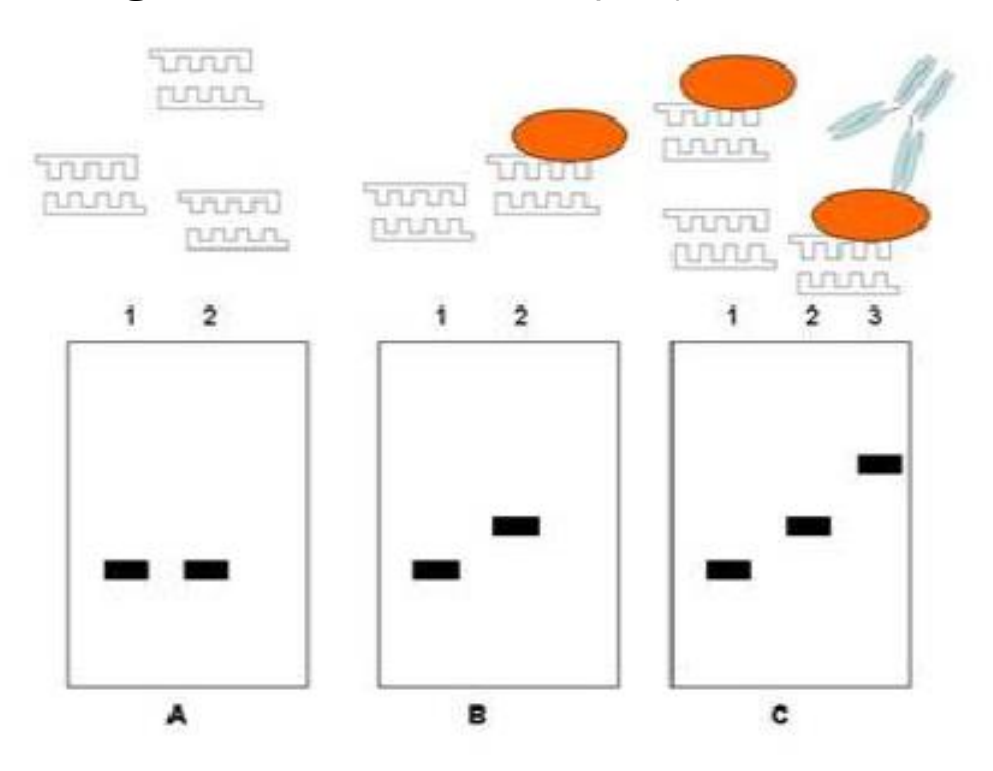
- ARF 1 und IAA 24 enthalten im Gegensatz zu anderen Aux/IAA Proteinen nur Box III + IV
- Analysen zur Voraussage von Faltungen in Proteinen sagen voraus, dass Box III sich zum amphiphilen $\alpha\beta$ β -motif faltet
- Vergleich zu letzter Woche: $\alpha\beta$ β -motif steht in Verdacht DNA Bindedomäne zu sein

Frage:

Bindet das Protein an die DNA und welche Region ist essentiell für die Bindung?

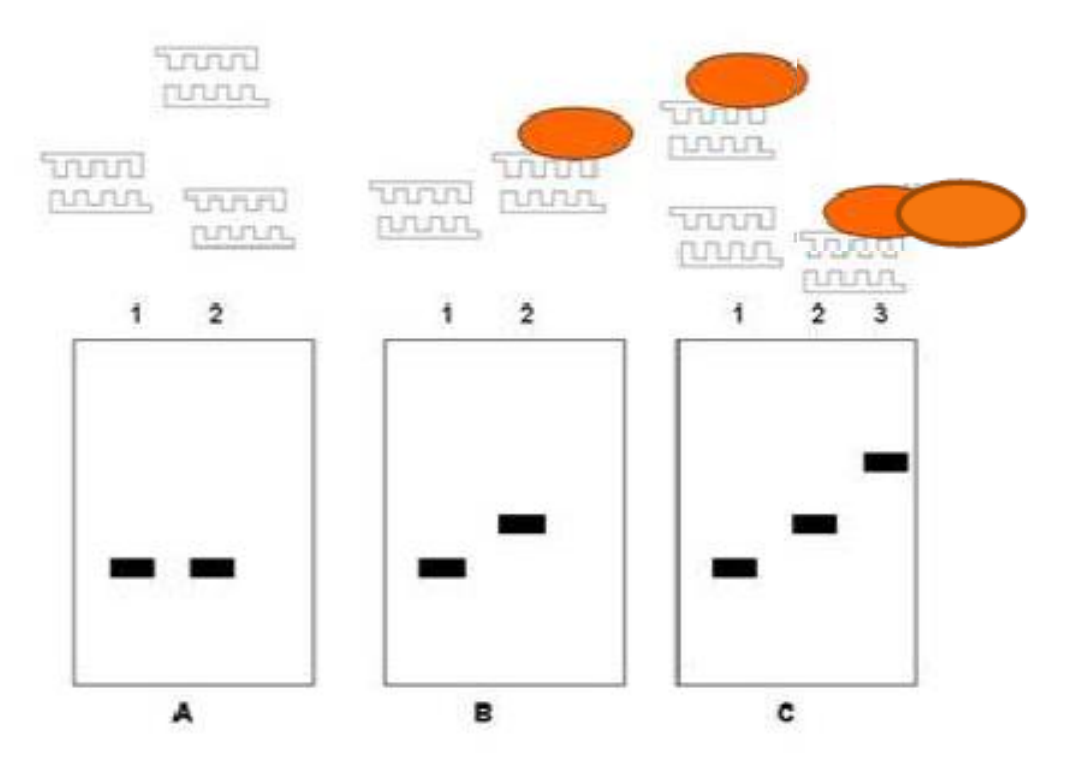
Gel mobility shift assay

- Nachweis der Bindung eines Proteins an DNA
- DNA-Fragmente, an die ein Protein gebunden ist, bewegen sich langsamer im Gel als freie DNA Stücke (im Agarosegel abhängig von Größe und Ladung des DNA-Protein-Komplex)

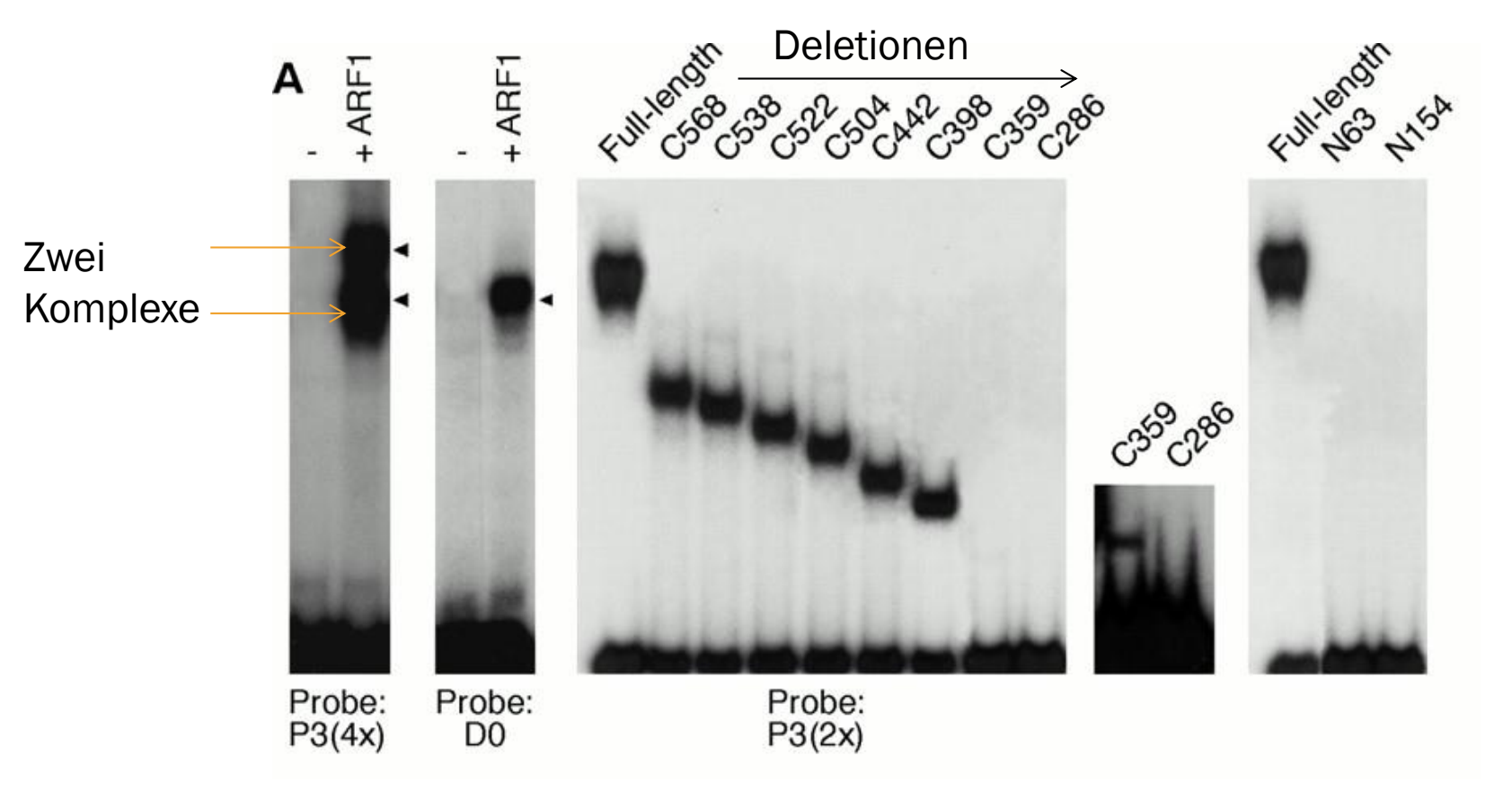


www.2020gene.com

- Nachweis der Bindung eines Proteins an DNA
- DNA-Fragmente, an die ein Protein gebunden ist, bewegen sich langsamer im Gel als freie DNA Stücke (im Agarosegel abhängig von Größe und Ladung des DNA-Protein-Komplex)



www.2020gene.com



Fazit: 1. Aminosäuresequenz ab C359 ist essentiell für DNA Bindung

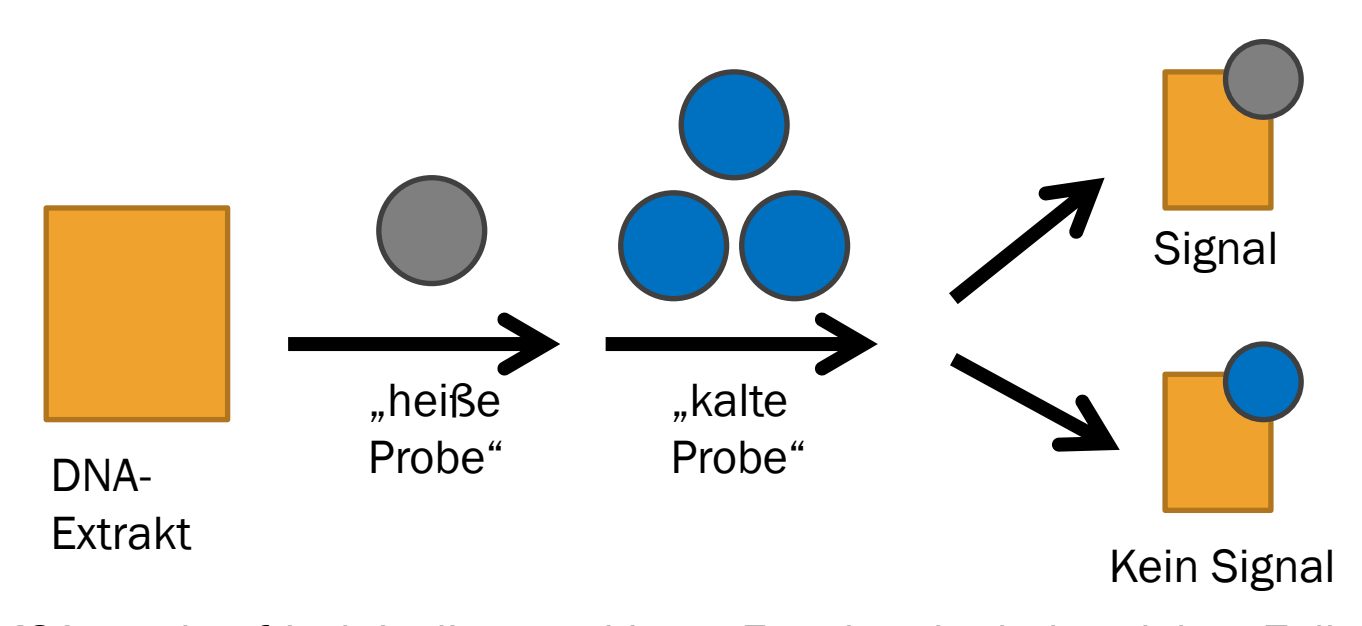
2. DNA Bindungsdomäne liegt am N-terminus

Frage:

Welche Basen im P3(4x) Konstrukt sind essentiell für die Auxinantwort?

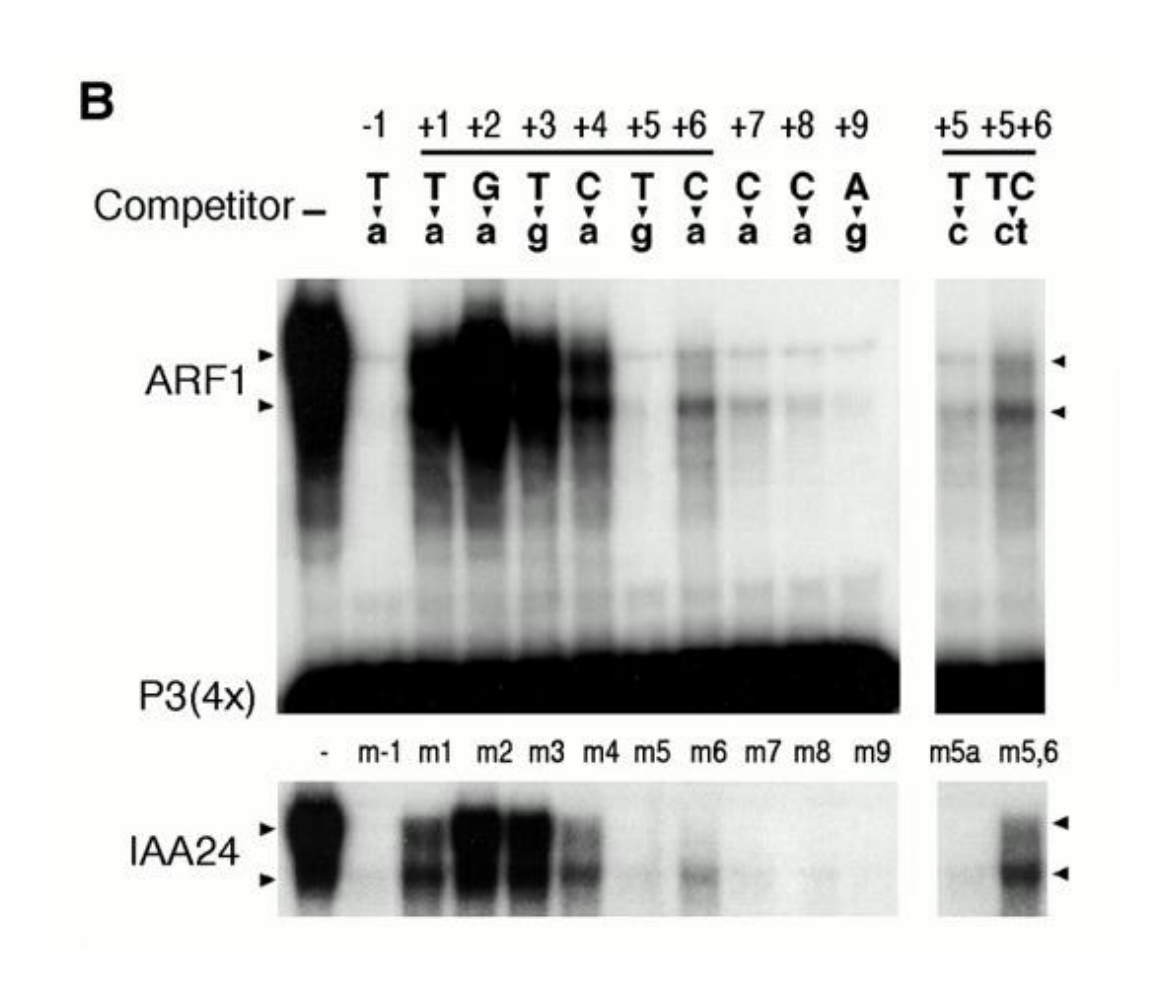
Competition assay und quantitativer GUS assay

COMPETITION ASSAY



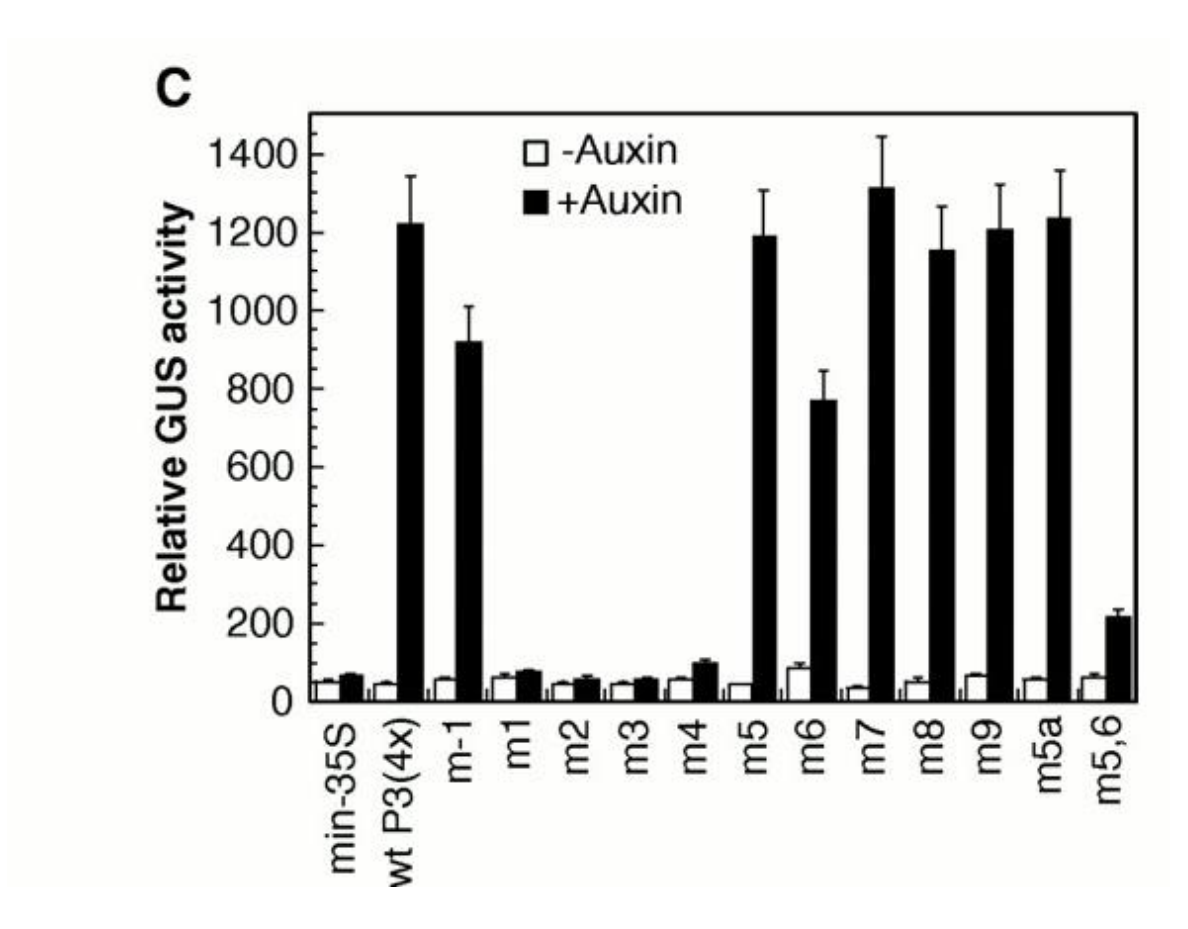
Im EMSA wurden frisch isolierte nukleare Extrakte der behandelten Zellen gewonnen und diese mit einer radioaktiv markierten spezifischen Sonde ("heiße Sonde") inkubiert. In die Probe wurde zusätzlich zur heißen Sonde eine sogenannte "kalte Sonde" zugegeben, bei der es sich ebenfalls um die spezifische Sequenz, jedoch nicht radioaktiv markiert, handelte. Da sie im Überschuss zugegeben wurde, verdrängte sie beim Hybridisierungsvorgang die "heiße Sonde", wodurch sich das Signal abschwächte.

COMPETITION ASSAY



Fazit: Bindespezifität von IAA 24 ist identisch mit der von ARF1

QUANTITATIVER GUS ASSAY



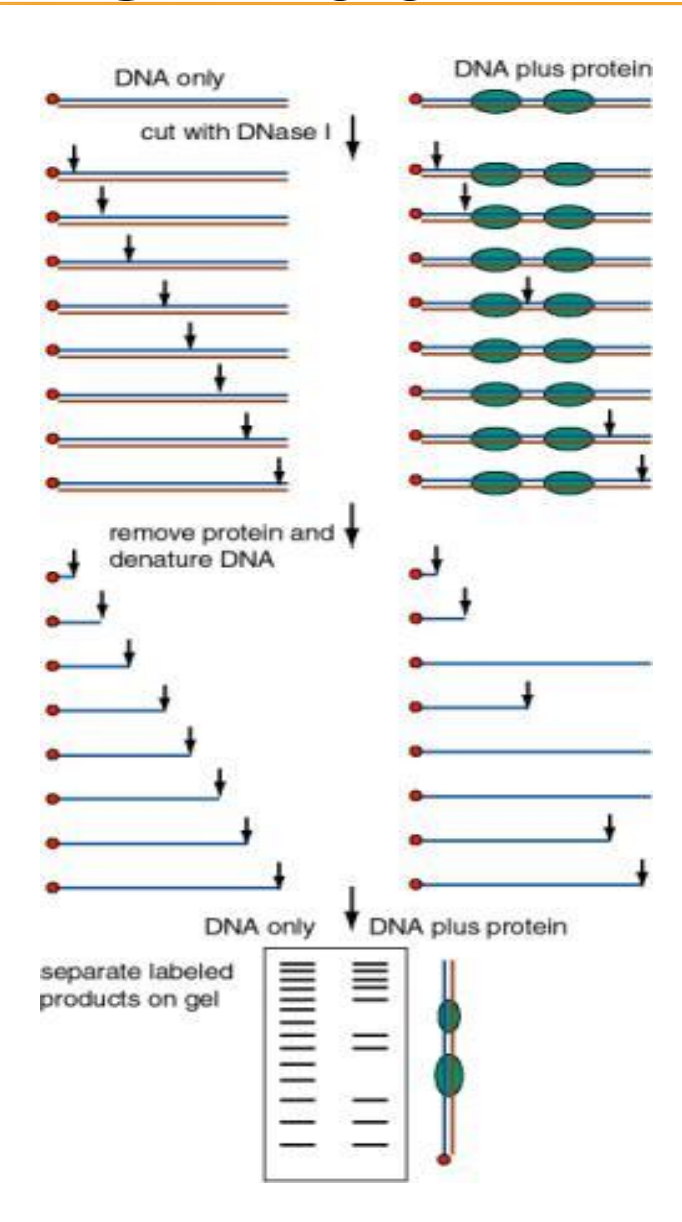
Fazit: 1. Die Basen 1-4 sind essentiell für die Bindung

2. 5 und 6 sind jeweils fakultativ

Frage: Wie sieht die Struktur der ARF1 Bindestelle aus ?

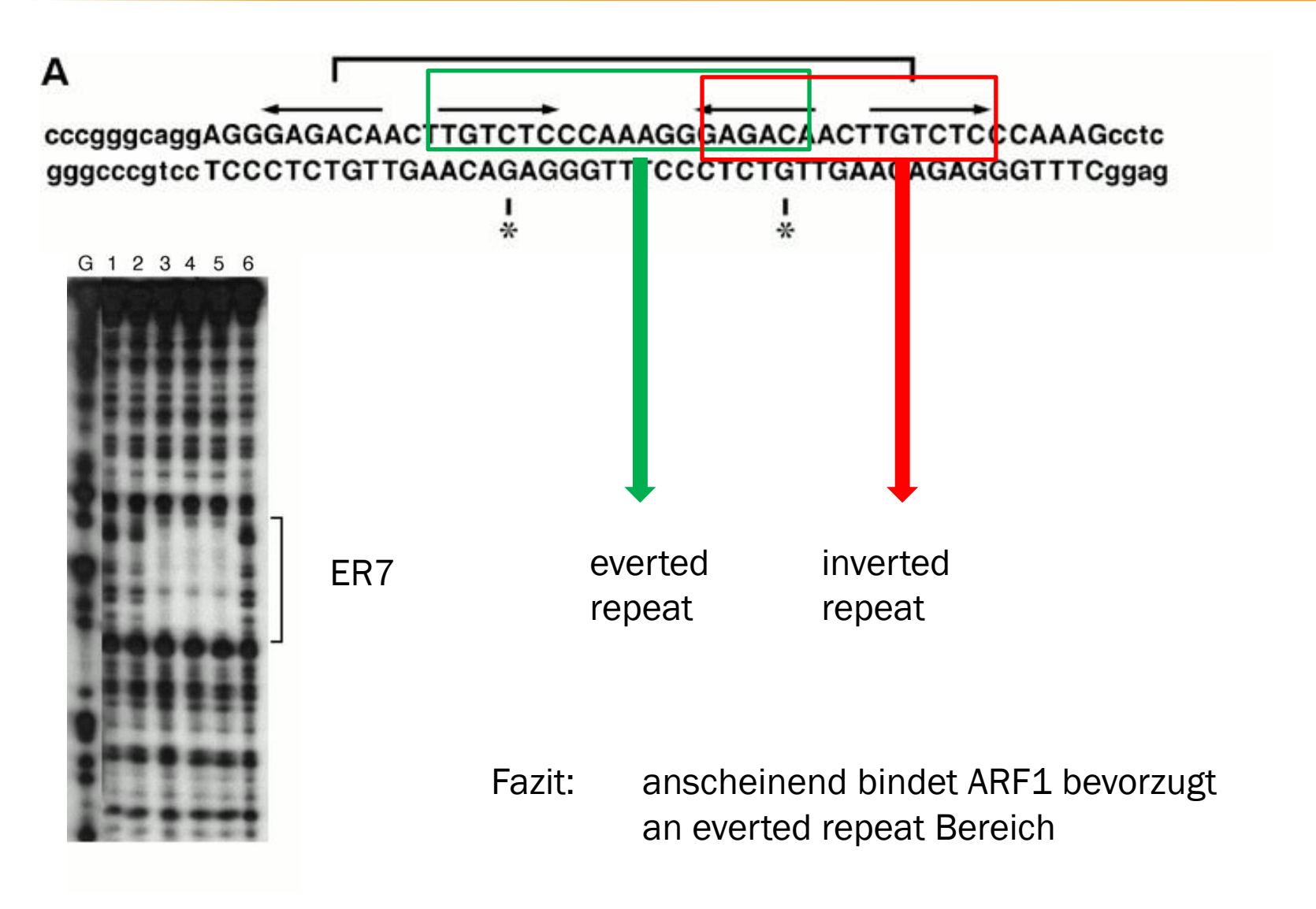
DNase footprinting und gel mobility shift assay

DNASE FOOTPRINTING ASSAY



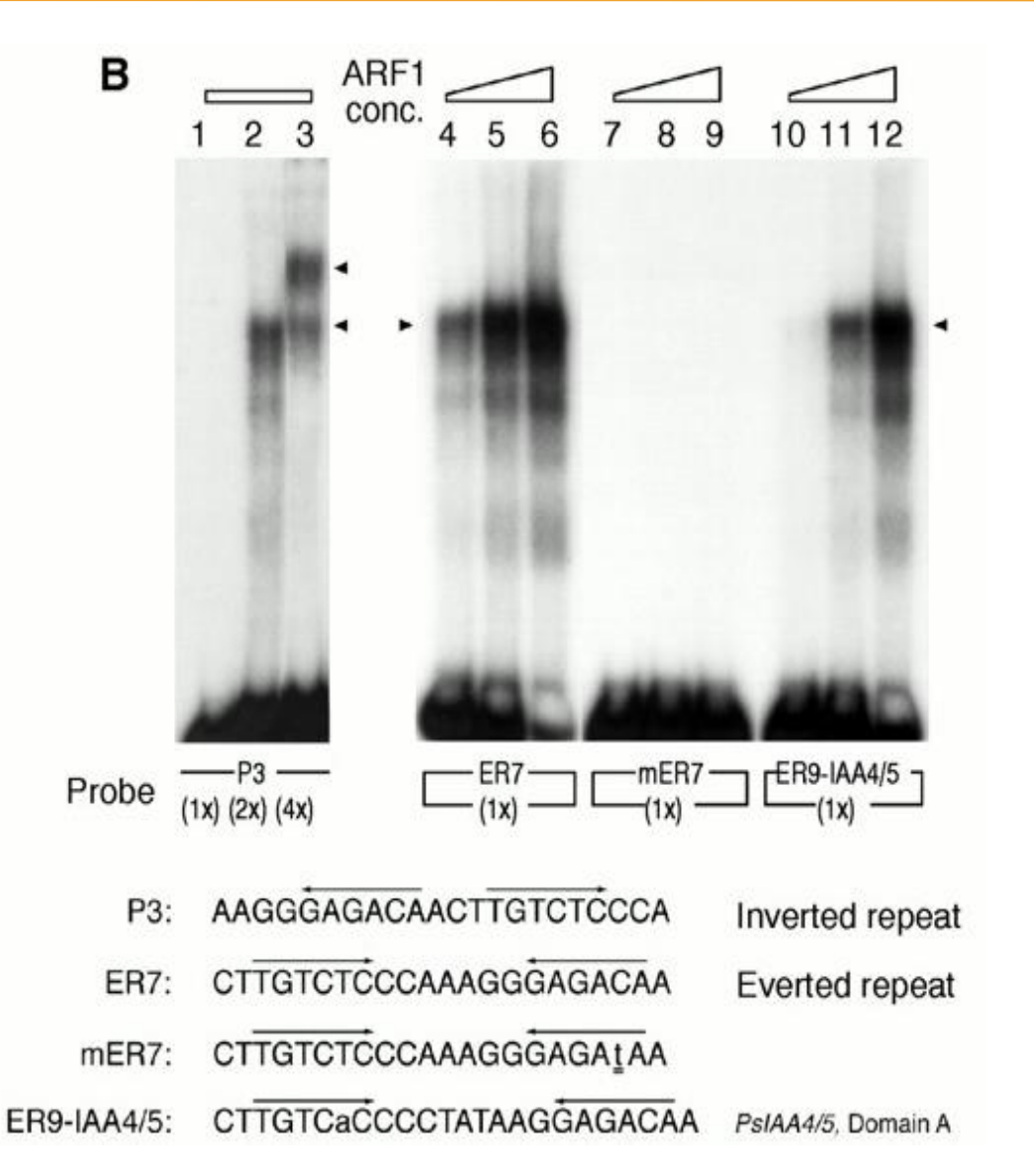
- Methode zum Aufspüren von DNA- Protein-Interaktionen
- DNA-Fragmente, an denen ein Protein gebunden ist, sind zu einem gewissen Grad vor enzymatischer Spaltung geschützt

DNASE FOOTPRINTING ASSAY



Fazit:

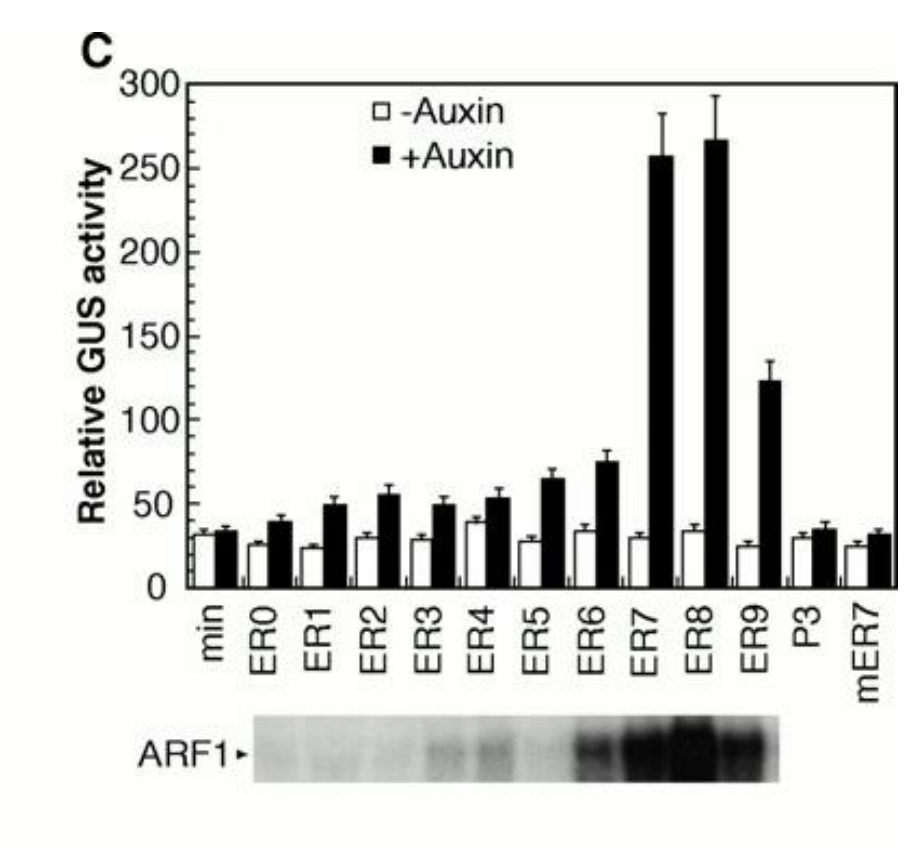
- 1. 1 IR reicht nicht aus für Proteinbindung
- 2. Bindung erfolgt am ER
- 3. 2 ER können 2 ARF 1 binden



Frage: Ist der Basenabstand von Bedeutung?

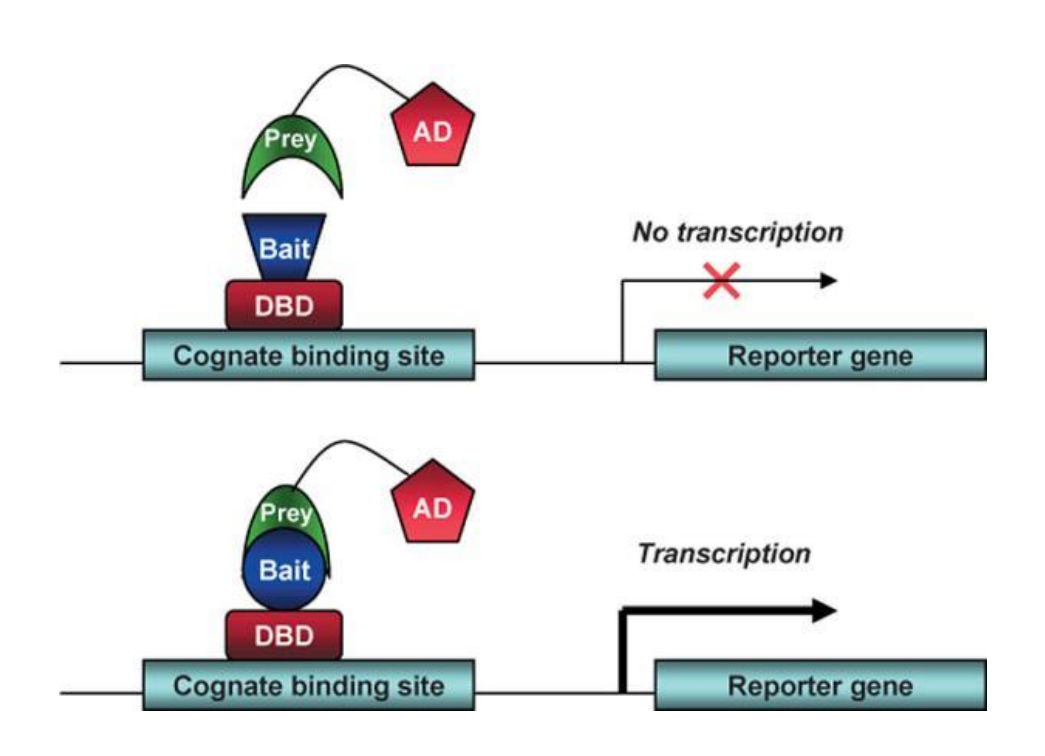


QUANTITATIVER GUS ASSAY



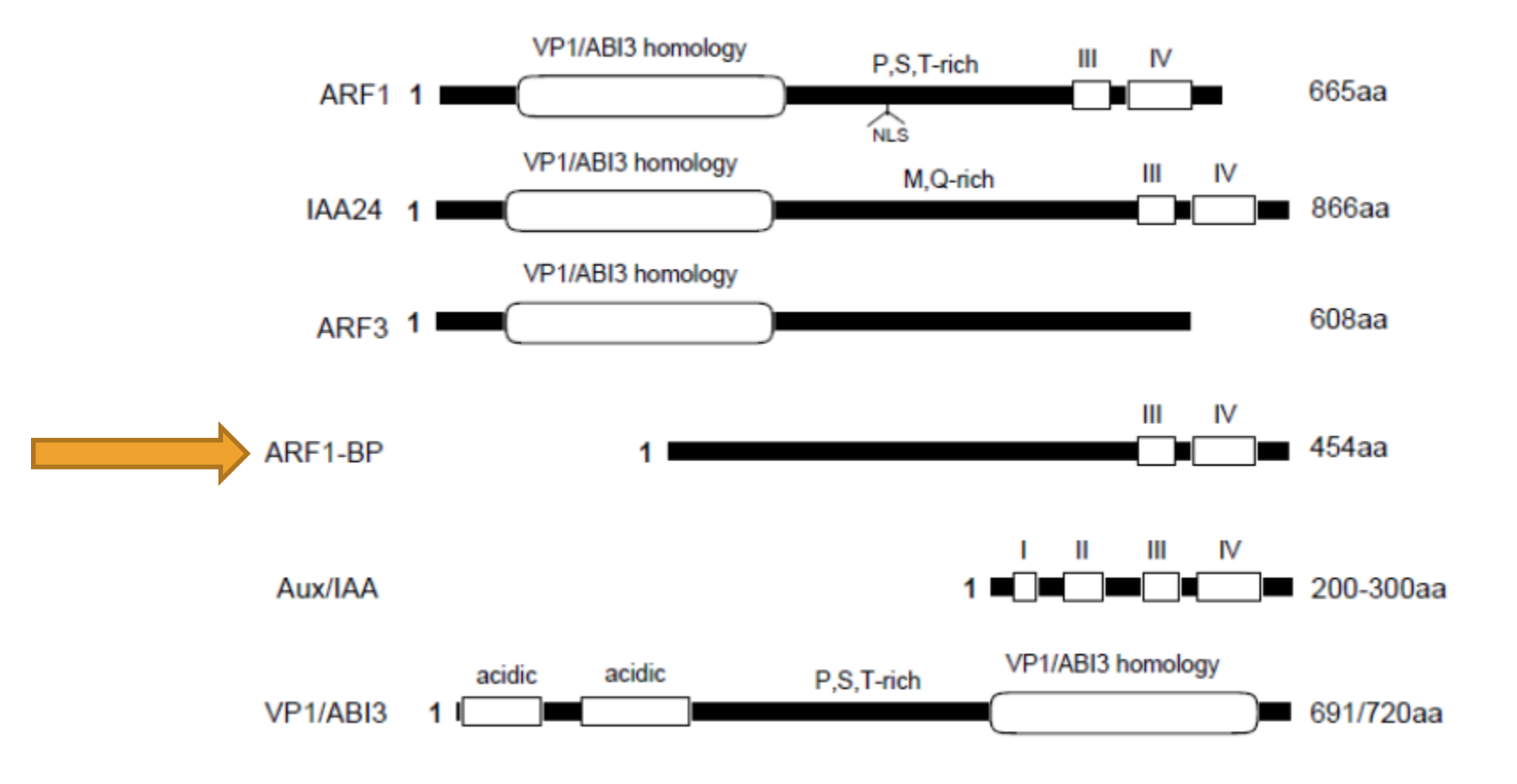
Fazit: Wenn der Abstand der ER´s 7 bis 8 Basen beträgt, ist die Auxin response am stärksten → mögliche Dimerbildung?

YEAST-TWO-HYBRID SYSTEM

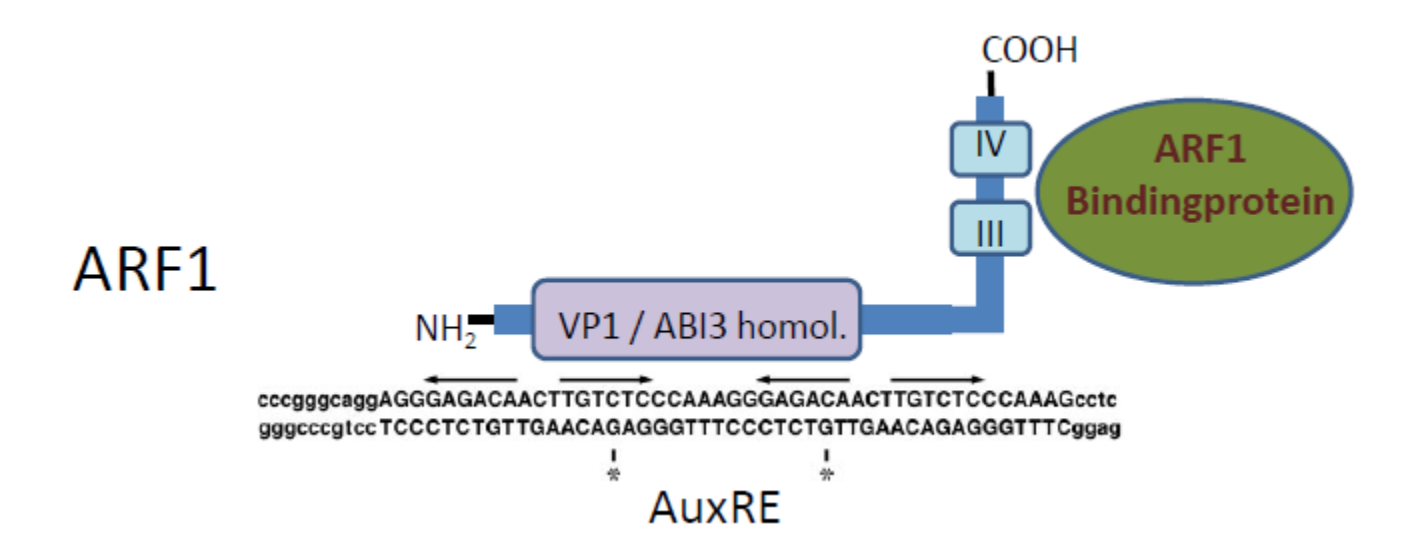


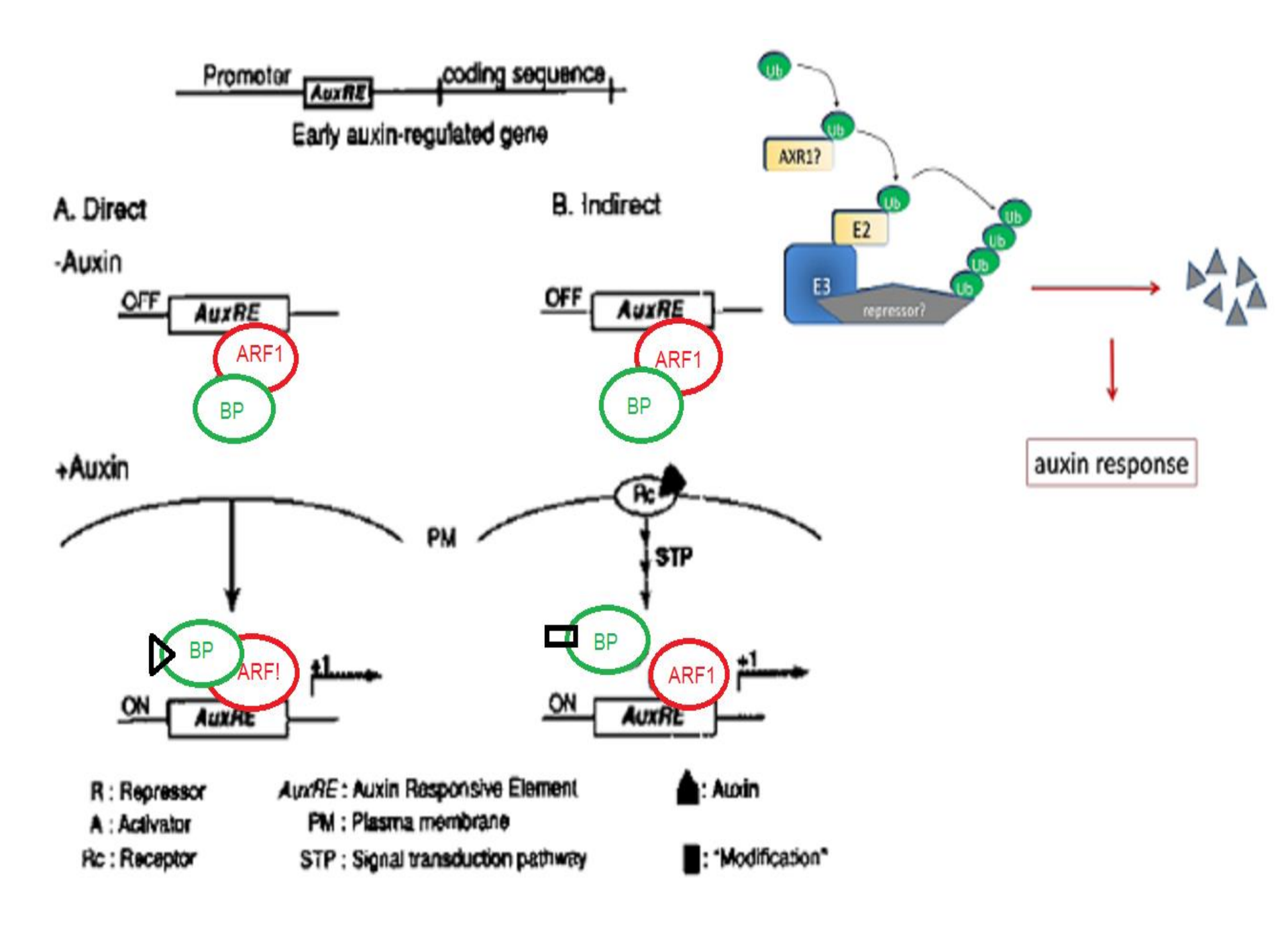
- In-vivo Methode zum Nachweis von Protein-Protein Wechselwirkungen
- Das Bait-Fusionsprotein bindet an die GAL 4 -Bindestelle vor einem Reportergen im Genom einer Hefezelle. Ein Preybindet an das Bait-Fusionsprotein. Daraus resultiert eine Rekonstitution des GAL4-Transkriptionsfaktors und die Expression des Reportergens.

DAS ARF1 BINDEPROTEIN



DAS ARF1 BINDEPROTEIN





ZUSAMMENFASSUNG

- Identifizierung und nähere Charakterisierung des Transkriptionsfaktors ARF1 (Aminosäuresequenz, Homologien zu anderen Proteinen)
- Nähere Strukturbestimmung der AuxREs (palindromischer Aufbau)
- Bindungsvoraussetzung für ARF1 sind ERs, 7-8bp Abstand
- Identifizierung des ARF1-BP (Sequenzhomologie Box III+IV)

Nächste Woche

Philipp und Bruno

The TIR1 protein of Arabidopsis functions in auxin response and is related to human SKP2 and yeast Grr1p